

Starkniederschlagshöhen und -spenden gemäß KOSTRA-DWD-2010R

Auswertungszeitraum von 1951 - 2010, Januar - Dezember

Rasterfeld: 33065

Zeile: 33

Spalte: 65

Seite: 1/2

| Dauerstufe D | Wiederkehrzeit T | | | | | | | | | | | | | | | | | | |
|--------------|------------------|------|------------|------|------------|------|------------|------|------------|------|------------|------|------------|-------|------------|-------|------------|-------|------------|
| | 1 a | | 2 a | | 3 a | | 5 a | | 10 a | | 20 a | | 30 a | | 50 a | | 100 a | | |
| min | Std | mm | l / (s ha) | mm | l / (s ha) | mm | l / (s ha) | mm | l / (s ha) | mm | l / (s ha) | mm | l / (s ha) | mm | l / (s ha) | mm | l / (s ha) | mm | l / (s ha) |
| 5 | | 5,2 | 173,3 | 6,6 | 220,0 | 7,5 | 250,0 | 8,6 | 286,7 | 10,0 | 333,3 | 11,5 | 383,3 | 12,4 | 413,3 | 13,5 | 450,0 | 14,9 | 496,7 |
| 10 | | 8,2 | 136,7 | 10,3 | 171,7 | 11,5 | 191,7 | 13,0 | 216,7 | 15,1 | 251,7 | 17,1 | 285,0 | 18,3 | 305,0 | 19,8 | 330,0 | 21,9 | 365,0 |
| 15 | | 10,2 | 113,3 | 12,7 | 141,1 | 14,2 | 157,8 | 16,0 | 177,8 | 18,5 | 205,6 | 21,1 | 234,4 | 22,5 | 250,0 | 24,4 | 271,1 | 26,9 | 298,9 |
| 20 | | 11,6 | 96,7 | 14,5 | 120,8 | 16,2 | 135,0 | 18,3 | 152,5 | 21,2 | 176,7 | 24,1 | 200,8 | 25,8 | 215,0 | 27,9 | 232,5 | 30,8 | 256,7 |
| 30 | | 13,5 | 75,0 | 17,0 | 94,4 | 19,1 | 106,1 | 21,7 | 120,6 | 25,2 | 140,0 | 28,7 | 159,4 | 30,8 | 171,1 | 33,4 | 185,6 | 36,9 | 205,0 |
| 45 | | 15,1 | 55,9 | 19,4 | 71,9 | 21,9 | 81,1 | 25,1 | 93,0 | 29,4 | 108,9 | 33,7 | 124,8 | 36,2 | 134,1 | 39,3 | 145,6 | 43,6 | 161,5 |
| 60 | | 16,1 | 44,7 | 21,0 | 58,3 | 23,9 | 66,4 | 27,6 | 76,7 | 32,5 | 90,3 | 37,4 | 103,9 | 40,3 | 111,9 | 44,0 | 122,2 | 48,9 | 135,8 |
| 90 | | 17,3 | 32,0 | 22,7 | 42,0 | 25,9 | 48,0 | 30,0 | 55,6 | 35,5 | 65,7 | 40,9 | 75,7 | 44,1 | 81,7 | 48,2 | 89,3 | 53,6 | 99,3 |
| 120 | 2 | 18,2 | 25,3 | 24,0 | 33,3 | 27,5 | 38,2 | 31,8 | 44,2 | 37,7 | 52,4 | 43,6 | 60,6 | 47,1 | 65,4 | 51,4 | 71,4 | 57,3 | 79,6 |
| 180 | 3 | 19,5 | 18,1 | 26,0 | 24,1 | 29,8 | 27,6 | 34,6 | 32,0 | 41,2 | 38,1 | 47,7 | 44,2 | 51,5 | 47,7 | 56,3 | 52,1 | 62,9 | 58,2 |
| 240 | 4 | 20,5 | 14,2 | 27,5 | 19,1 | 31,6 | 21,9 | 36,8 | 25,6 | 43,8 | 30,4 | 50,9 | 35,3 | 55,0 | 38,2 | 60,2 | 41,8 | 67,2 | 46,7 |
| 360 | 6 | 22,0 | 10,2 | 29,7 | 13,8 | 34,3 | 15,9 | 40,1 | 18,6 | 47,9 | 22,2 | 55,7 | 25,8 | 60,2 | 27,9 | 66,0 | 30,6 | 73,8 | 34,2 |
| 540 | 9 | 23,5 | 7,3 | 32,2 | 9,9 | 37,3 | 11,5 | 43,6 | 13,5 | 52,3 | 16,1 | 60,9 | 18,8 | 66,0 | 20,4 | 72,4 | 22,3 | 81,0 | 25,0 |
| 720 | 12 | 24,7 | 5,7 | 34,1 | 7,9 | 39,5 | 9,1 | 46,4 | 10,7 | 55,7 | 12,9 | 65,0 | 15,0 | 70,4 | 16,3 | 77,3 | 17,9 | 86,6 | 20,0 |
| 1080 | 18 | 26,5 | 4,1 | 36,9 | 5,7 | 42,9 | 6,6 | 50,5 | 7,8 | 60,8 | 9,4 | 71,2 | 11,0 | 77,2 | 11,9 | 84,8 | 13,1 | 95,1 | 14,7 |
| 1440 | 24 | 27,9 | 3,2 | 39,0 | 4,5 | 45,5 | 5,3 | 53,7 | 6,2 | 64,8 | 7,5 | 75,9 | 8,8 | 82,4 | 9,5 | 90,6 | 10,5 | 101,7 | 11,8 |
| 2880 | 48 | 34,0 | 2,0 | 46,2 | 2,7 | 53,4 | 3,1 | 62,5 | 3,6 | 74,7 | 4,3 | 87,0 | 5,0 | 94,2 | 5,5 | 103,2 | 6,0 | 115,5 | 6,7 |
| 4320 | 72 | 38,1 | 1,5 | 51,1 | 2,0 | 58,6 | 2,3 | 68,2 | 2,6 | 81,2 | 3,1 | 94,1 | 3,6 | 101,7 | 3,9 | 111,2 | 4,3 | 124,2 | 4,8 |

Angaben in mm: Bemessungsniederschlagswerte h(n)

Angaben in l / (s ha): Regenspende R(n) mit $R(n) = h(n) \times 1,666667 / D[\text{min}]$

Toleranzbereiche:

+/- 10 % für $1 \text{ a} \leq T \leq 5 \text{ a}$

+/- 15 % für $5 \text{ a} < T \leq 50 \text{ a}$

+/- 20 % für $50 \text{ a} < T \leq 100 \text{ a}$

Datenbasis: KOSTRA-DWD-2010R des Deutschen Wetterdienstes. Die Regenspende wurde auf Basis des Bemessungsniederschlags zur jeweiligen Andauer berechnet.

Für die Richtigkeit und Aktualität der Angaben wird keine Gewähr übernommen. Erstellt 07/2022.

Starkniederschlagshöhen und -spenden gemäß KOSTRA-DWD-2010R

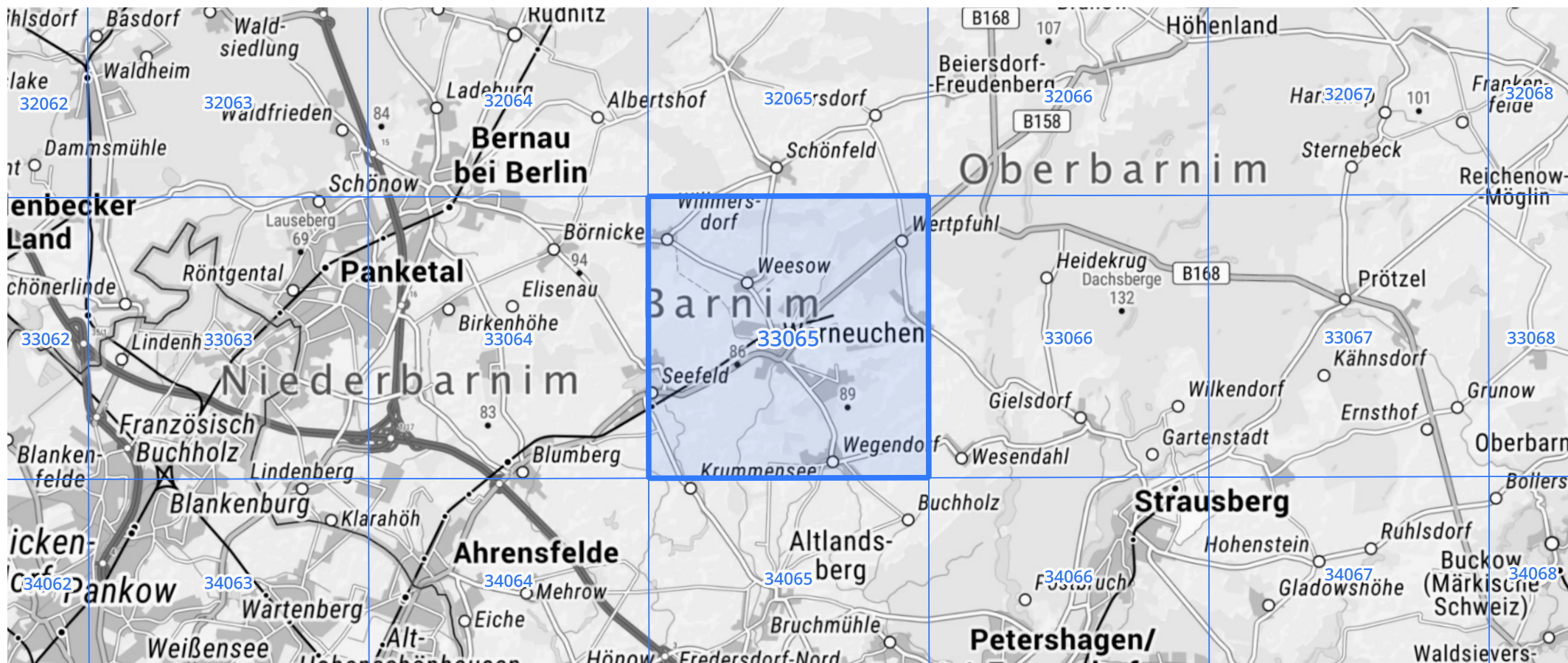
Auswertungszeitraum von 1951 - 2010, Januar - Dezember

Rasterfeld: 33065

Zeile: 33

Spalte: 65

Seite: 2/2



Quelle Rasterdaten: KOSTRA-DWD-2010R des Deutschen Wetterdienstes.

Kartendarstellung: © Bundesamt für Kartographie und Geodäsie (2022), Datenquellen: https://sgx.geodatenzentrum.de/web_public/gdz/datenquellen/Datenquellen_TopPlusOpen.html

Für die Richtigkeit und Aktualität der Angaben wird keine Gewähr übernommen. Erstellt 07/2022.